

インパートアーチを有する巻立トンネルの下盤応力分布の光弾性
実験について

徳島大学工学部

正会員

小田英一

阿南工業高等専門学校

正会員

○米津 聖

高知工業高等専門学校

大谷 亘

徳島大学大学院

渡辺 弘

1. まえがき

トンネル地山の主働土圧が設計計算のように高さ一定の等分布荷重として働いてくることがなく、大部分の場合は偏荷重や集中荷重が土圧となって巻立トンネルアーチ部に作用する。トンネルの上部半断面底設導坑掘削段階における土平付近の応力状態については前年度に報告した。¹⁾ 本研究はインパートアーチを有する巻立トンネルに鉛直土圧として鉛直集中荷重がトンネル拱頂に作用したとき、側壁底面およびインパートアーチ底面の反力分布と下盤の応力分布、地山周辺の応力分布を光弾性実験より求め解析結果を示したものである。インパートアーチを有する巻立トンネルの設計で圧力線を因式解法で求めるととき、インパートアーチ部の圧力線の因式解法はトンネル側壁底面およびインパートアーチ底面の反力分布の割合が必要となる。これを求めるため本研究に意義があると考えられる。

2. 実験概要

トンネル周辺地山を形成する岩盤は複雑な性質を有しており、地山の成層状態や節理、片理、岩目などの存在によって、いわゆる異方性体と考えられるものがきわめて多いが岩盤を一般的に等質の二次元等方性弾性体と仮定し、地山、ライニングの Model とともに共にエポキシ樹脂を用いた。エポキシ樹脂の力学的性質は光弾性感度 0.0929 cm/kg 、板厚 6.00 mm 、ヤング率 $E_e = 30000 \text{ kg/cm}^2$ 、ボアソン比 $\nu = 0.33 \sim 0.35$ である。トンネル半径 R に対するアーチの巻厚 t の比を t/R とした。実験方法として閉合したライニング部（馬蹄形巻立にインパートアーチのある形）の供試体を写真-1のごとく作り、地山に作用する応力の単位荷重の主働土圧の作用方向がトンネル中心を通り鉛直隙より水平方向に向かい、それされど、 45° 、 90° の角度となって集中土圧がライニングに作用したう種類の場合を示す。なお今回は写真-2のごとく鉛直集中荷重がライニングの拱頂に作用した場合（角度 0° の場合）について報告する。光弾性実験において、トンネル下盤および横の地山の繰次数分布とその次数、等級線を記録し、その上で主応力線を図上に記入して Shear Difference Method により直応力

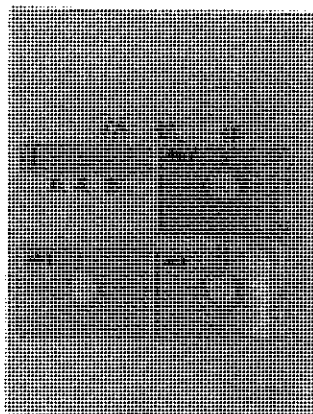


写真-1

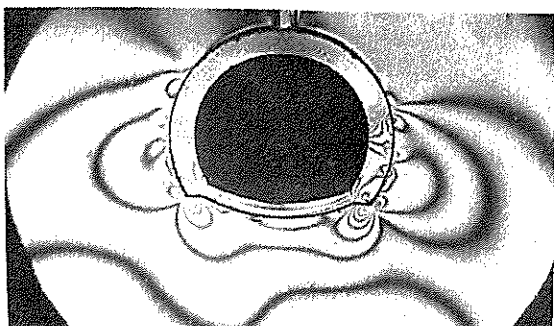


写真-2

セン断応力を求めた。

3. 実験結果とその考察

(i) トンネル周辺の応力解析

載荷壁が船直線方向に作用した場合は写真-1の供試体No.1であり、これについて述べる。座標の水平軸をZ軸とし、船直軸をY軸とすれば、水平方向直応力は σ_x 、船直方向直応力は σ_y 、セン断応力は τ_{xy} となる。載荷重を準静荷重 fringeとした供試体No.1におけるトンネル周辺の σ_x の分布を示したのが図-1であり、トンネル周辺の τ_{xy} の分布を示したのが図-2であり、さらにトンネル周辺 σ_y の分布を示したのが図-3である。

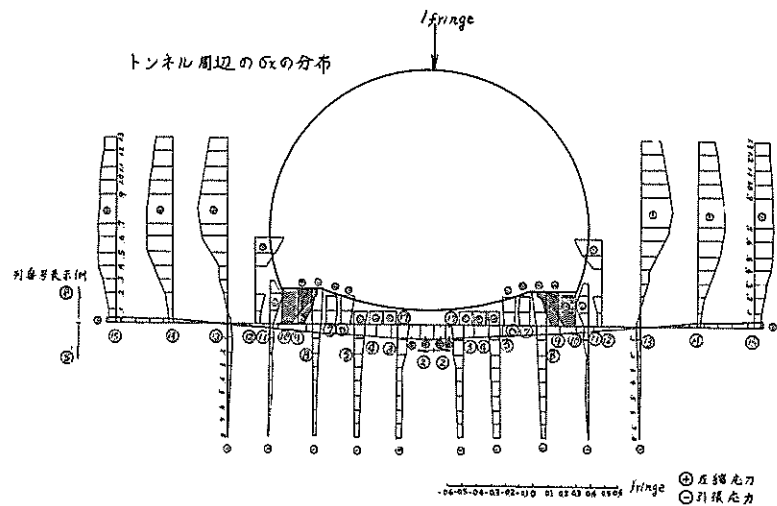


図-1

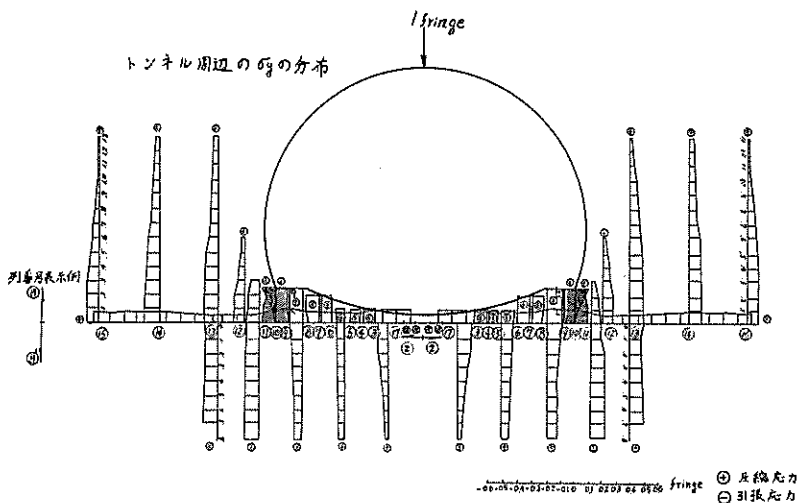


図-2

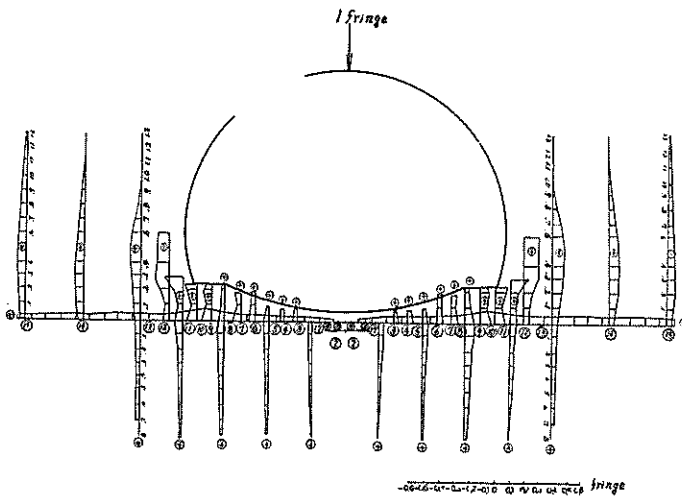


図-3

(ii) 実験の考察

トンネル周辺地山の σ_y の分布について(図-1参照)：ライニング部が開削されているので上から集中荷重を受けるとアーチが降下し、巻立の左右が抜かうことが予想される。実験述からもその状態がわかる。すなわち④列、⑤列の6～10の点では大きい圧縮力が生じ、最大値は⑤列の8点で、1 fringe の載荷量に対して 0.218 fringe となる。インバートアーチ下面において引張が生じている。なお、垂直集中荷重 80kg に対して側壁に作用する水平反力の合計は約 60kg となった。

トンネル周辺地山の τ_{xy} の分布について(図-2参照)：トンネル側壁底面付近で大きい圧縮力を生じインバートアーチ下面では一様な圧縮応力が生じている。その値は脚部②列の25点で載荷量 1 fringe に対して 0.194 fringe でインバートアーチ下面では約 0.085 fringe である。

トンネル周辺地山の σ_x の分布について(図-3参照)：トンネルの形と載荷状態の左右対称性より鉛直中心軸上では $\sigma_x = 0$ となる。トンネル側壁底面において σ_x が最大となることから、この附近に大きいせん断応力が働くことが予想され、実験においてそれが観察されている。すなわち、⑩、⑪、⑫、⑬列の2～6点では大きい値となっている。⑭列の3点において最大となり、その値は載荷量 1 fringe に対して 0.129 fringe を示している。

4. トンネル側壁底面およびインバートアーチ底面の反力分布について

光弾性実験において、鉛直集中荷重 $P = 80\text{ kg}$ が拱頂に作用したときアーチ脚部、およびインバートアーチ面において反力が生じる。 R はインバートアーチ中央の底面反力としての応力とする。地山応力を求めたりには R を求めるなければならない。座標方向の分割間隔 $\Delta z = 0.2\text{ cm}$ 、供試体板の厚さ $d = 0.61\text{ cm}$ とする。表-1の τ_{xy} はトンネル側壁底面およびインバートアーチ底面の鉛直方向直応力である。鉛直集中荷重がトンネル頂点に作用しているため反力分布は左右対称となることから、鉛直方向の力の釣合条件式より

$$\sum \sigma_y \times (\frac{1}{\alpha d}) \times dx \times d = \frac{1}{2} P \quad \cdots \cdots \cdots \cdots \cdots \cdots (1)$$

$$P=1 \quad n=\alpha \pi d$$

n : 線次数 (fringe)

$\alpha = 0.0929 \text{ cm/kg}$: 光弾性感度

応力 / fringe は $(\frac{1}{\alpha d}) \text{ kg/cm}^2$ となる。 (1)式の左辺は $d \Delta x \times (\frac{1}{\alpha d}) \times \sum \sigma_y$ となり、表-1 より

$\sum \sigma_y = 13 P - 5.231$ (fringe) が得られ、(1)式より P を求めると $P = 1.850$ (fringe) となる。これを表-1 に代入して応力が求められる。このようにして求められたトンネル側壁底面をモリバンバーでアーチ反力分布を図-4 に示す。図-4 によれば、トンネル半径石に対するアーチの巻厚さの比が 0.3 の場合、鉛直荷重の約 $\frac{1}{2}$ をトンネル側壁底面で受けたことが判明した。

表-1 供試体 NAI125-817 反力			
区間	Fringe [fringe]	σy [Mpa/m]	反力 (kg)
① .0 ~ .1	R - 0.66	29.857	3.583
.1 ~ .2	R - 0.150	30.126	3.616
.2 ~ .3	R - 0.276	27.904	3.348
.3 ~ .4	R - 0.487	23.997	2.880
.4 ~ .5	R - 0.388	22.323	2.697
.5 ~ .6	R - 0.615	23.439	2.813
.6 ~ .7	R - 0.457	26.355	2.947
.7 ~ .8	R - 0.357	28.229	3.147
.8 ~ .9	R + 0.012	32.926	3.751
.9 ~ .10	R + 1.218	54.133	6.495
.10 ~ .11	R - 0.611	21.765	2.612
.11 ~ .12	R - 1.342	8.929	1.071
.12 ~ .13	R - 1.522	5.840	0.703

$$\Sigma \sigma_y = 13 P - 5.231 \text{ (fringe)}$$

備考 反力 = $\sigma_y \cdot r_y \cdot d \cdot \alpha \cdot 333.333 \text{ division}$

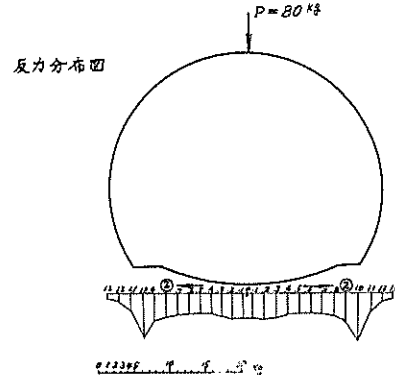


图-4

参考文献

- 1). 小田英一, 米澤 聰 : トンネル逆巻工法におけるアーチ部完成時の荷重による地山応力の光弾性実験について 昭和45年7月 第22回 土木学会中四国支部学術講演集 A168 ~ A171
- 2). Max Mark Frocht : Photo-Elasticity Volume 1 August 1949
- 3). 辻二郎, 西田正秀, 河田幸三共著 : 光弾性実験法